

# شناسایی نقطه‌ی تغییر و مقدار شیب روند در نمودارهای کنترل تعدیل ریسک شده در فاز ۱

رضا قاسمی\* (کارشناس ارشد)

پاسر صمیمه‌ی (استادیار)

حمدید شهریاری (دانشیار)

دانشکده‌ی هندسی صنایع، دانشگاه صنعتی خواجه نصیرالدین طوسی

نمودارهای کنترل تعدیل ریسک شده که با در نظر گرفتن ریسک‌های پیش از عمل بیماران طراحی می‌شود، در پایش نزخ مرگ و میر بیماران پس از عمل‌های جراحی کاربرد دارند و مدیران مراکز درمانی در فرایند ارائه خدمات درمانی توسط پزشکان و پرستاران، از آن برای شناسایی نقطه‌ی تغییر بهره می‌گیرند. شناسایی نقطه‌ی تغییر بدان سبب اهمیت می‌یابد که کشف عمل واقعی تغییر را میسر می‌سازد. در این نوشتار از روش بیشترین درست‌نمایی برای برآورد زمان تغییر و مقدار شیب روند نزد داده‌های صفر و ۱ (زنده ماندن یا مرگ) بیماران — که با استفاده از نمودار آزمون نسبت درست‌نمایی تعدیل ریسک شده در فاز ۱ مورد پایش قرار می‌گیرد — استفاده می‌شود. نتایج حاصله حاکی از آن است که چنانچه اندازه‌ی تغییر بزرگ باشد زمان تغییر و اندازه‌ی شیب روند با دقت بیشتری برآورد می‌شود.

rghasemi@mail.kntu.ac.ir  
y\_samimi@mail.kntu.ac.ir  
hshahriari@mail.kntu.ac.ir

واژگان کلیدی: فاکتور ریسک، رگرسیون لجستیک، نمودار کنترل تعدیل ریسک شده، نقطه‌ی تغییر، روش برآورد بیشترین درست‌نمایی.

## ۱. مقدمه و مرور ادبیات

آوردن جامعه‌ی همگن، روش‌های تعدیل ریسک متفاوتی مطرح شده است. از جمله این روش‌ها می‌توان به روش رگرسیون لجستیک<sup>۱</sup> و مدل زمان شکست تسریع شده (AFT)<sup>۲</sup> اشاره کرد که از آنها به ترتیب در مرور خروجی‌های برآولی<sup>۳</sup> و زمان بقای<sup>۴</sup> بیماران پس از عمل استفاده می‌شود. در برخی از مطالعات از نمودار آزمون نسبت احتمال انتقال دنباله‌یی تعدیل ریسک شده (RASPRT)<sup>۵</sup> برای پایش داده‌های صفر و ۱ بیماران استفاده شده است.<sup>[۶]</sup> در مطالعات دیگری نیز از نمودار میانگین متجرک موزون نمایی تعدیل ریسک شده (RAEWMA)<sup>۶</sup> به روزشونده‌ی زمان بقا برای پایش زمان بقای بیماران پس از عمل در فاز ۲ استفاده کرده‌اند.<sup>[۷]</sup> در ادامه، محققین دیگری نیز از نمودار جمع تجمعی تعدیل ریسک شده (RACUSUM)<sup>۸</sup> برآولی و نیز نمودار جمع تجمعی تعدیل ریسک زمان بقا (RACTCUSUM)<sup>۹</sup> برای سایه‌ی بیماری دیابت و غیره — جامعه‌ی ناهمگونی را تشکیل می‌دهند و از این رو احتمال مرگ هر بیمار پس از عمل جراحی نه تنها به میزان مهارت و قابلیت‌های جراح، بلکه به ویژگی‌ها یا ریسک‌های پیش از عمل فرد بیمار نیز بستگی دارد. از این رو در صورت عدم تعدیل ریسک نتایج حاصل ممکن است گمراهکننده باشد. به عنوان مثال افزایش نزخ مرگ بیماران در یک زمان تحت عمل ممکن است ناشی از ریسک مرگ بالای بیمارانی باشد که در این زمان تحت عمل قرار گرفته‌اند؛ در واقع شرایط خاص این بیماران باعث افزایش نزخ مرگ آنها شده نه تغییر در عملکرد پزشک جراح. به منظور تعدیل ریسک در داده‌ها و به دست

امروزه در بسیاری از مراکز بیمارستانی و واحدهای پژوهشی سراسر دنیا از نمودارهای کنترل تعدیل ریسک<sup>۱۰</sup>، که از جمله ابزارهای کنترل فرایند آماری<sup>۱۱</sup> هستند، در امر پایش کیفیت خدمات درمانی استفاده می‌شود. هدف بیشتر پایش‌ها ارزیابی خروجی‌ها و آگاهی دادن به پزشکان و مدیران در صورت بروز الگوی غیرمعمول در داده‌هاست که احتمالاً نشانگر بروز مشکل در کیفیت درمان است.<sup>[۱۲]</sup> از جمله متغیرهای مهمی که به طور معمول پایش می‌شود زنده ماندن یا مرگ بیماران پس از جراحی‌ها (متغیر برآولی)، و نیز مدت زمان بقای عمر بیماران پس از عمل جراحی است که معمولاً بوسیله‌ی یکی از انواع نمودارهای کنترل انجام می‌شود. بیمارانی که در مراکز پزشکی تحت درمان قرار می‌گیرند به دلیل داشتن ویژگی‌های متفاوت — مانند سن، جنسن، سابقه‌ی بیماری دیابت و غیره — جامعه‌ی ناهمگونی را تشکیل می‌دهند و از این رو احتمال مرگ هر بیمار پس از عمل جراحی نه تنها به میزان مهارت و قابلیت‌های جراح، بلکه به ویژگی‌ها یا ریسک‌های پیش از عمل فرد بیمار نیز بستگی دارد. از این رو در صورت عدم تعدیل ریسک نتایج حاصل ممکن است گمراهکننده باشد. به عنوان مثال افزایش نزخ مرگ بیماران در یک زمان تحت عمل ممکن است ناشی از ریسک مرگ بالای بیمارانی باشد که در این زمان تحت عمل قرار گرفته‌اند؛ در واقع شرایط خاص این بیماران باعث افزایش نزخ مرگ آنها شده نه تغییر در عملکرد پزشک جراح. به منظور تعدیل ریسک در داده‌ها و به دست

\* نویسنده مسئول

تاریخ: دریافت ۱۲ مهر ۱۳۹۲، اصلاحیه ۱۵، ۸/۸، پذیرش ۲۷ اکتبر ۱۳۹۲.

و در آن  $(\beta_0, \beta_1, \dots, \beta_r) = \beta$  بردار ضرایب تابع تعديل ریسک و  $u_i$  (۱،  $x_{i1}, \dots, x_{ir}$ ) بردار فاکتورهای ریسک بیمار  $i$  است.  $r$  نشان دهنده تعداد فاکتورهای ریسک است و  $f$  نیز تابع تعديل ریسک را نمایش می‌دهد. از آنجا که فرایند مورد نظر یک فرایند برنولی است می‌توان از مدل رگرسیون لجستیک به عنوان تابع تعديل ریسک استفاده کرد:<sup>[۶]</sup>

$$\text{logit}(p_i) = \beta u_i^T = \beta_0 + \sum_{j=1}^r \beta_j x_{ij}, \quad (2)$$

که در آن  $(p_i) = \log(p_i / (1 - p_i))$  است و بنابراین:

$$p_i = \frac{\exp\left(\beta_0 + \sum_{j=1}^r \beta_j x_{ij}\right)}{\left(1 + \exp\left(\beta_0 + \sum_{j=1}^r \beta_j x_{ij}\right)\right)}, \quad (3)$$

در پاره‌یی از مطالعات انجام شده<sup>[۷]</sup> از معیاری به نام «امتیاز پارسونت» به عنوان فاکتور ریسک بیماران استفاده شده است، به‌گونه‌یی که پارسونت بیشتر نشان دهنده ریسک مرگ بالاتر است. این معیار نشان داده که به خوبی قادر است ریسک‌های پیش از عمل بیماران را منعکس کند. در این تحقیق از این معیار به عنوان متغیر ریسک بیماران استفاده می‌شود. بنابراین بردار ضرایب مدل برابر  $(\beta_0, \beta_1, \dots, \beta_r) = \beta$  است و بردار  $u_i$  با پارسونت  $x_i$  جایگزین می‌شود. درنتیجه  $p$  برابر است با:

$$P_i = \frac{\exp(\beta_0 + \beta_1 x_i)}{1 + \exp(\beta_0 + \beta_1 x_i)}, \quad (4)$$

کی از مسائل مهم به دست آوردن یا در واقع برآورده مقدار ضرایب مدل تعديل ریسک،  $(\beta_0, \beta_1) = \beta$  است. به این منظور در این تحقیق از روش برآوردهای بیشترین درست‌نمایی براساس استفاده از داده‌های تاریخی<sup>[۸]</sup> استفاده شده است.

## ۲.۱. روش آزمون نسبت درست‌نمایی

از روش آزمون نسبت درست‌نمایی می‌توان به منظور آزمون فرض‌های ساده یا مرکب، براساس استفاده از نسبت توابع درست‌نمایی داده‌ها تحت دو فرض صفر و ۱ در یک آزمون فرض ساده یا مرکب استفاده کرد.<sup>[۹]</sup> برای توضیح این روش فرض کنید مجموعه داده‌های  $z_k, z_{k+1}, \dots, z_m$  از توزیع احتمال مفروض ( $z$ ) با پارامتر  $\lambda$  پیروری می‌کنند. فرض کنید می‌خواهیم فرض تغییر پارامتر جامعه از  $\lambda_0$  به  $\lambda_1$  را بیازمایم.

$$\begin{cases} H_0 : \lambda = \lambda_0 \\ H_1 : \lambda = \lambda_1 \end{cases}, \quad (5)$$

اگر  $R_0$  و  $R_1$  را توابع درست‌نمایی داده‌ها تحت  $H_0$  و  $H_1$  در نظر بگیریم آنگاه آماره‌ی آزمون برابر خواهد بود با:<sup>[۱۰]</sup>

$$\Lambda = \frac{R_1}{R_0}$$

اگر این آماره از یک مقدار  $\phi$  بزرگ‌تر باشد آنگاه فرض  $H_1$  پذیرفته می‌شود. نکته مهم این است که چنانچه مقدار  $R_0$  و  $R_1$  خیلی کوچک باشد می‌توان از لگاریتم آنها استفاده کرد.<sup>[۱۱]</sup> در این صورت آماره‌ی آزمون برابر است با:

$$\Lambda = \log(R_1) - \log(R_0)$$

در این مقاله از لگاریتم توابع درست‌نمایی استفاده خواهد شد.

دلیل تغییر را کشف کرد. روند، شیفت در فرایند، و...، از جمله تغییرات رخ داده است.

محققین از نمودار آزمون نسبت درست‌نمایی تعديل ریسک شده (RALRT)

برای پایش خروجی صفر و ۱ بیماران در فاز ۱ استفاده کردند.<sup>[۷]</sup> آنها با درنظر گرفتن فرض وقوع یک شیفت در فرایند، و نیز با استفاده از روش بیشینه درست‌نمایی، تنها زمان و قوی این شیفت — و نه مقدار شیفت رخ داده — را برآورد کردند. آنها ریسک

بیماران را تابع دو متغیر ویژگی‌های فردی خود بیمار و نیز توانایی جراح دانسته‌اند و برای تعديل ریسک داده‌ها و به دست آوردن جامعه‌ی همگن، از مدل رگرسیون

لجستیک با دو متغیر استفاده کردند؛ یکی از متغیرها بیان‌گر ویژگی‌های بیمار و دیگری مشخص‌کننده نوع جراح است. در سال‌های اخیر تحقیقات زیادی<sup>[۱۲-۱۴]</sup>

در زمینه‌ی ارائه‌ی برآورد بیز<sup>[۱۵]</sup> برای نقطه‌ی تغییر در نمودارهای کنترل تعديل ریسک شده انجام شده است. در واقع در پژوهش‌های مذکور به جای این که نقطه‌ی تغییر و مقدار تغییر را پارامتری ثابت در نظر بگیرند، آنها را متغیرهایی با توزیع پیشین

علوم در نظر گرفته‌اند و با به دست آوردن توزیع پسین این متغیرها، از میانگین یا مد توزیع پسین به عنوان برآوردهای زمان و اندازه‌ی تغییر استفاده کردند.

در تحقیقات یادشده، وقوع شیفت‌های افزایشی و کاهشی به طور مجزا در نمودار RASTCUSUM مدنظر قرار گرفته و نقطه‌ی تغییر و مقدار شیفت برآورد شده است.<sup>[۱۶]</sup> در دیگر مطالعات انجام شده<sup>[۱۷]</sup> زمان و اندازه‌ی یک شیفت و نیز یک افت در نمودار RASTCUSUM برآورد شده است. همچنین زمان و اندازه‌ی پارامتریک روند در نمودارهای تعديل ریسک CUSUM و EWMA بزنولی برآورد شده‌اند.<sup>[۱۸]</sup>

در این نوشتار نقطه‌ی تغییر و مقدار شیب روند در نمودار RALRT بزنولی در فاز ۱ کنترل برآورد می‌شود. در بخش دوم مدل رگرسیون لجستیک به طور خلاصه معرفی

می‌شود و در ادامه روش آزمون نسبت درست‌نمایی و نمودار RALRT بزنولی که به منظور پایش فرایند به کار برد می‌شود. از این نمودار به منظور

شناسایی زمان و قوی یک شیفت در داده‌های صفر و ۱ بیماران استفاده شده است.<sup>[۷]</sup>

از روش بیشینه درست‌نمایی برای برآورد زمان تغییر در فرایند استفاده می‌شود. با تعیین

برآورد زمان تغییر در نهایت به تعیین برآورد بیشینه درست‌نمایی مقدار شیب روند رخ داده در فرایند به کمک روش تقریب نیوتون – رافسون اشاره می‌شود. در بخش سوم ابتدا

با استفاده از رویکرد نمودار RALRT به پایش یک مجموعه داده در فاز ۱ پرداخته می‌شود. سپس توانایی نمودار در شناسایی روندهای رخ داده در فرایند با استفاده از

نمودار توان بررسی می‌شود. نتایج عملکرد برآوردهای RALRT براساس معیارهای میانگین و انحراف میانگین برآوردهای روندهای رخ داده در فاز ۱ با نتایج عملکرد برآوردهای بیز و CUSUM

مورد مقایسه قرار می‌گیرد. در نهایت نتیجه‌گیری در بخش چهار ارائه می‌شود.

## ۲. معرفی مدل

### ۲.۱. مدل رگرسیون لجستیک

فرایند زنده ماندن یا مرگ بیماران در طی یک دوره‌ی زمانی مشخص (معمولًاً

روز) پس از عمل را در نظر بگیرید که با متغیرهای بزنولی  $y_i$  کنترل می‌شود به‌گونه‌یی که  $1 = y_i$  نشان‌دهنده‌ی مرگ بیمار  $i$ ، و  $0 = y_i$  نشان‌دهنده‌ی زنده‌ماندن بیمار

$\lambda$  در این دوره است. احتمال مرگ هر بیمار را با  $p_i$  نمایش می‌دهیم که تابعی از

فاکتورهای ریسک بیمار است:

$$p_i = f(\beta, u_i), \quad (1)$$

## ۱۰.۲ نمودار RALRT براساس مدل نقطه‌ی تغییر

فرض کنید  $m$  متغیر برنولی  $y_1, y_2, \dots, y_m$  در فاز ۱، مربوط به فرایند مرگ یا زنده ماندن  $m$  بیمار در یک دوره زمانی مشخص پس از عمل جراحی، وجود دارد. احتمال مرگ هر بیمار  $i$  ( $p_i$ )، تابعی از فاکتورهای ریسک آن بیمار است ( $i = 1, 2, \dots, m$ ).  $i$  ترتیب زمانی را که بیماران تحت عمل قرار گرفته‌اند مشخص می‌کند. فرض می‌شود که در یک زمان نامعلوم  $\tau$  تغییری به صورت یک روند در فرایند رخ داده است که باعث تغییر در نرخ مرگ بیماران شده است. برای مدل کردن وقوع یک روند در نرخ مرگ بیماران، از پارامتر نسبت شانس مرگ بیماران (OR) استفاده می‌شود. برای دو عدد  $a$  و  $b$  نسبت شانس چنین تعریف می‌شود:

$$OR = \frac{a/(1-a)}{b/(1-b)}, \quad (6)$$

با این تعریف  $OR = 1$  نشان‌دهنده‌ی عدم تغییر است و:

$$OR_1 = OR_0 + \delta \times (i - \tau) \quad i > \tau, \quad (7)$$

نشان‌دهنده‌ی یک روند با شیب  $\delta$  از زمان  $\tau$  است. فرض می‌شود که از زمان نامعلوم  $\tau$ ، احتمال مرگ هر بیمار  $i$  از مقدار تحت کنترل  $\tau > p_{0,i}$  به مقدار  $p_{1,i}$  تغییر یافته است. با توجه به رابطه‌ی ۷، و نیز از آنجا که:

$$OR_1 = \frac{p_{1,i}/(1-p_{1,i})}{p_{0,i}/(1-p_{0,i})}, \quad (8)$$

مقدار  $p_1$  برابر است با:

$$p_{1,i} = \frac{(OR_0 + \delta \times (i - \tau)) \times p_{0,i}/(1-p_{0,i})}{1 + (OR_0 + \delta \times (i - \tau)) \times p_{0,i}/(1-p_{0,i})}, \quad (9)$$

که در آن  $1 < OR_0 < \infty$  و  $OR_1 > 1$ ،  $i = \tau + 1, \tau + 2, \dots, m$  و  $i = \tau + 1, \dots, m$  نقطه‌ی تغییر چنین مطرح می‌شود:

$$P(y_i|p_i) = \begin{cases} p_{0,i}^{y_i} (1-p_{0,i})^{1-y_i} & i = 1, 2, \dots, \tau \\ p_{1,i}^{y_i} (1-p_{1,i})^{1-y_i} & i = \tau + 1, \dots, m \end{cases}, \quad (10)$$

$\tau = l, l+1, \dots, m-l$  است که  $l$  کمترین اندازه نمونه‌ی مورد نیاز برای برآورد ضرایب مدل رگرسیون لجستیک است. درواقع با این فرض که تغییر در بازه  $[l, m-l]$  رخ می‌دهد، و نیز با توجه به مدل نقطه‌ی تغییر کنترل داده‌ها در فاز ۱ معادل با آزمون فرض ۱۱ است:

$$\begin{cases} H_0 : p_{1,i} = p_{0,i} & i = 1, 2, \dots, m \\ H_1 : p_{1,i} \neq p_{0,i} & i = \tau + 1, \dots, m \end{cases}. \quad (11)$$

تحت فرض صفر، لگاریتم تابع درست‌نمایی برابر است با:

$$L_0 = \log \left( \prod_{i=1}^m P(y_i|p_{0,i}) \right) = \sum_{i=1}^m \{y_i \log(p_{0,i}) + (1-y_i) \log(1-p_{0,i})\}, \Rightarrow \quad (12)$$

$$L_1 = \sum_{i=1}^m \{y_i \log(p_{1,i}) + \log(1-p_{1,i})\}. \quad (13)$$

همچنین تحت فرض ۱ لگاریتم تابع درست‌نمایی برابر است با:

$$\begin{aligned} L_1(\tau) &= \log \left( \prod_{i=1}^{\tau} P(y_i|p_{0,i}) \right) + \log \left( \prod_{i=\tau+1}^m P(y_i|p_{1,i}) \right) \\ &= \sum_{i=1}^{\tau} \{y_i \log(p_{0,i}) + (1-y_i) \log(1-p_{0,i})\} \\ &+ \sum_{i=\tau+1}^m \{y_i \log(p_{1,i}) + (1-y_i) \log(1-p_{1,i})\}, \Rightarrow \end{aligned} \quad (14)$$

$$\begin{aligned} L_1(\tau) &= \sum_{i=1}^{\tau} \{y_i \text{logit}(p_{0,i}) + \log(1-p_{0,i})\} \\ &+ \sum_{i=\tau+1}^m \{y_i \text{logit}(p_{1,i}) + \log(1-p_{1,i})\}. \end{aligned} \quad (15)$$

### الف) نحوه‌ی برآورد نرخ مرگ بیماران

در روابط ۱۳ و ۱۵، با توجه به نامعلوم بودن مقادیر  $p_{0,i}$  و  $p_{1,i}$  باید نسبت به برآورد آنها اقدام کرد. برای برآورد مقادیر  $p_{0,i}$ ،  $i = 1, 2, \dots, m$  تحت فرض  $H_0$ ، باید تمامی داده‌های مربوط به ریسک بیماران را به صورت مجموعه‌ی واحد در نظر گرفت و با روش بیشینه درست‌نمایی، ضرایب رابطه‌ی رگرسیون لجستیک ( $\beta$ ) را برآورد کرد. این مقادیر را با  $\hat{\beta}_{(1,m)}$  نشان می‌دهند که در آن اندیس  $(1, m)$  نشان می‌دهد که از تمامی داده‌های  $1 \leq i \leq m$  برای برآورد ضرایب رابطه‌ی رگرسیون لجستیک استفاده شده است. با قرار دادن این ضرایب برآورد شده در رابطه‌ی ۴ و جایگزینی  $p_{0,i}$  به جای  $p_i$  در این رابطه، مقادیر برآورده شده‌ی  $p_{0,i}$ ‌ها تحت فرض  $H_0$  به دست می‌آیند. تحت فرض  $H_1$  نمی‌توان تمامی داده‌ها را به صورت واحد در نظر گرفت. از آنجا که از زمان  $\tau$  یک تغییر در نرخ مرگ بیماران رخ داده، داده‌های قبل و بعد از نقطه‌ی تغییر دو مجموعه‌ی متفاوت‌اند. در این حالت مقدار  $\tau$  که در آن نشان می‌دهد که از نقطه‌ی تغییر به صورت مجزا به کار رفته و ضرایب رابطه‌ی رگرسیون لجستیک برای مقادیر  $i = 1, 2, \dots, \tau$  برابر می‌شوند. این مقادیر با  $\hat{\beta}_{(1,\tau)}$  نشان داده می‌شود. برای داده‌های  $i = \tau + 1, \dots, m$  برآورد می‌شوند. آماره‌ی نمودار بهارزی هر مقدار  $\tau$  ( $\tau = l, l+1, \dots, m-l$ ) برابر است با:

$$\Lambda(\tau) = L_1(\tau) - L_0. \quad (16)$$

### ۳.۲ برآورد بیشترین درست‌نمایی زمان تغییر

نمودار RALRT با رسم مقادیر  $\Lambda(\tau)$  بر حسب مقادیر  $\tau$  به دست می‌آید. اگر تمامی مقادیر  $\tau$  از یک حد بالای UCL کمتر باشد حاکی از آن است که داده‌ها از یک فرایند تحت کنترل به دست آمده‌اند و از نمودار و برآوردهای به دست آمده می‌توان برای پایش داده‌ها در فاز ۲ استفاده کرد. در غیر این صورت فرایند در فاز ۱ خارج از کنترل بوده است. در این حالت از روش بیشینه درست‌نمایی می‌توان به منظور برآورد زمان تغییر فرایند استفاده کرد. در این روش برآورده شده‌ی بیشینه درست‌نمایی زمان تغییر برابر زمانی است که تابع درست‌نمایی  $L_1(\tau)$  بیشینه می‌شود.<sup>[۱۵]</sup> از آنجا که در رابطه‌ی ۱۶ مقداری ثابت و مستقل از  $\tau$  است بنا برای  $\Lambda(\tau)$  نیز در نقطه‌ی بیشینه می‌شود که تابع درست‌نمایی  $L_1(\tau)$  بیشینه می‌شود. در نتیجه برآورد بیشینه

می‌رسد یعنی:

$$f(x + \Delta x) \approx f(x) + \frac{d}{dx} f(x) \Delta x, \quad (20)$$

است؛ و اگر  $\Delta x = x_k - x_{k-1}$  قرار داده شود آنگاه:

$$x_k = x_{k-1} - \frac{f(x_{k-1})}{f'(x_{k-1})}, \quad (21)$$

با انتخاب یک مقدار اولیه  $x_0$  رابطه‌ی بازگشتی بالا به ریشه‌ی رابطه‌ی  $f(x)$  همگرا خواهد شد. با به کارگیری این روش برای بدست آوردن مقدار  $\delta$  خواهیم داشت:

$$\delta_k = \delta_{k-1} - \frac{\sum_{i=\hat{\tau}+1}^m \left\{ \frac{y_i(i-\hat{\tau})}{1+\delta(i-\hat{\tau})} - \frac{(i-\hat{\tau})p_{i-}}{1+\delta(i-\hat{\tau})p_{i-}} \right\}}{\sum_{i=\hat{\tau}+1}^m \left\{ -y_i \left( \frac{(i-\hat{\tau})}{1+\delta(i-\hat{\tau})} \right)^{\tau} + \left( \frac{(i-\hat{\tau})p_{i-}}{1+\delta(i-\hat{\tau})p_{i-}} \right)^{\tau} \right\}}, \quad (22)$$

شرط توقف در این روش این است که تفاوت دو مقدار متوالی  $\delta_{k-1}$  و  $\delta_k$  از یک مقدار کمتر باشد. مقدار اولیه  $\delta$  باید به گونه‌ی انتخاب شود که نزدیک به ریشه‌ی معادله  $p_{i-} = \frac{dL_1}{d\delta}$  باشد. در این زمینه می‌توان از روش‌های تقریبی مانند روش تقریب نیوتون استفاده کرد. برای آشنایی بیشتر با روش نیوتون - رافسون و نحوه‌ی انتخاب مقدار اولیه در الگوریتم می‌توان به منابع موجود [۱۷] مراجعه کرد.

### ۳. بحث و ارزیابی

#### ۱.۳. مطالعه‌ی موردی: کنترل داده‌های جراحی قلب در فاز ۱

مجموعه‌ی داده‌ی مورد استفاده در این مطالعه، همان مجموعه داده‌ی است که به طور گستره‌ی توسط بسیاری از محققین دیگر [۱۰، ۹، ۷، ۴، ۳] استفاده شده است. این مجموعه شامل داده‌های مربوط به عمل‌های جراحی قلب در سال‌های ۱۹۹۲-۱۹۹۸ از دیگری از بیمارستان‌های لندن است. مقادیر ریسک بیماران ( $x_i$ ‌ها) براساس امتیاز پارسونت بیماران بیان شده است. برخلاف تعدادی از پژوهش‌گران [۱۰، ۹، ۴، ۳] که فرض کرده‌اند داده‌های دو سال اول از فرایندی تحتم کنترل به دست آمده‌اند و با استفاده از این داده‌ها نموداری برای پایش داده‌های سال‌های بعد در فاز ۲ طراحی کرده‌اند، محققین دیگری [۱۷] داده‌های دو سال اول را داده‌های فاز ۱ در نظر گرفته و به بررسی این موضوع پرداخته‌اند که آیا این داده‌ها از فرایندی تحت کنترل به دست آمده‌اند یا خیر؟ این داده‌ها شامل ۱۰۰۰ عمل جراحی است. مقادیر پارسونت‌های ( $x_i$ ‌ها) دو سال اول از یک توزیع نمایی با میانگین  $9/8$  پیروی می‌کنند. [۱۷] مقادیر پارسونت‌های دو سال اول به عنوان مقادیر فاز ۱ برای برآورد ضرایب مدل تعديلی ریسک کاربرد داشته است. [۱۷] مقادیر برآورد شده‌ی این ضرایب برابر است با  $[-3, 473, 0, 0, 73]$ ، و بنابراین:

$$\text{logit}(\hat{p}_i) = -3,473 + 0,0,73x_i \Rightarrow \hat{p}_i = \frac{\exp(-3,473 + 0,0,73x_i)}{1 + \exp(-3,473 + 0,0,73x_i)}, \quad (23)$$

$\hat{p}_i$  را می‌توان به عنوان لگاریتم شانس مرگ ((logit)  $(\hat{p}_i)$ ) یک بیمار سالم تفسیر کرد، هنگامی که مقدار پارسونت بیمار برابر صفر باشد.  $\hat{p}_1 = 0,0,73$  را نیز می‌توان تأثیر یک واحد تغییر پارسونت بر روی لگاریتم شانس مرگ بیمار تفسیر کرد. در اینجا از مدل بالا به عنوان مدل پایه برای تولید داده‌ها استفاده می‌شود. برای

درستنامی نمودار RALRT برابر زمانی است که نمودار به بیشترین مقدار خود

$$\hat{\tau} = \arg \left\{ \max_{\tau=l, l+1, \dots, m-l} (\Lambda(\tau)) \right\}. \quad (17)$$

محققین دیگر نیز از این رابطه به عنوان برآوردکننده بیشینه درستنامی زمان تغییر در نمودار RALRT استفاده کرده‌اند. [۱۷]

#### ۴. روش نیوتون - رافسون برای برآورد اندازه‌ی شبب روند

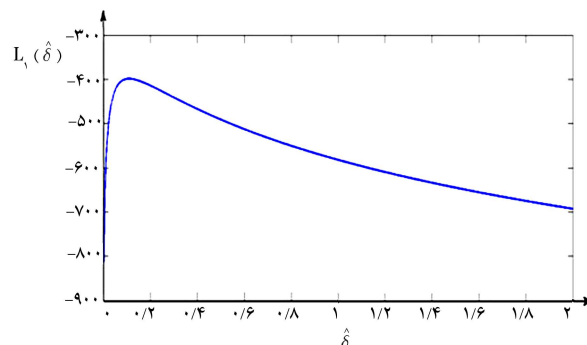
رابطه‌ی ۱۵ مربوط بهتابع درستنامی  $L_1(\tau)$  را در نظر بگیرید. برای برآورد بیشینه درستنامی مقدار شبب روند ( $\delta$ )، مقادیر نزخ مرگ بیماران پس از نقطه‌ی تغییر  $i = \tau + 1, \tau + 2, \dots, m$  براساس نزخ مرگ اولیه‌ی آنان از رابطه‌ی شبب تدریجی (رابطه‌ی ۹) و برآورد زمان تغییر ( $\hat{\tau}$ ) از رابطه‌ی ۱۷ را در رابطه‌ی ۱۵ قرار می‌دهیم:

$$L_1(\tau) = \sum_{i=1}^{\hat{\tau}} \{ y_i \text{logit}(p_{i-}) + \log(1-p_{i-}) \} + \sum_{i=\hat{\tau}+1}^m \left\{ y_i \log \left( \frac{(1+\delta(i-\hat{\tau}))p_{i-}}{1-p_{i-}} \right) - \log(1 + \frac{(1+\delta(i-\hat{\tau}))p_{i-}}{1-p_{i-}}) \right\}, \quad (18)$$

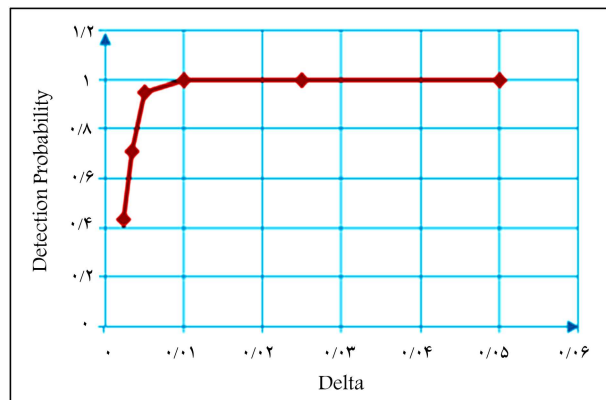
شرط لازم برای این که  $\hat{\delta}$  معرف برآورد بیشینه درستنامی اندازه شبب روند (۸) باشد این است که تابع  $L_1(\tau)$  دارای بیشینه باشد. برای نمونه، نمودار این تابع هنگامی که زمان تغییر واقعی و اندازه‌ی واقعی شبب تغییر برای  $\tau = 50^0$  و  $\delta = 0, 1, 2, \dots, 5$  باشد در شکل ۱ رسم شده است. چنان که مشاهده می‌شود، تابع همواره دارای یک بیشینه است. برآورد بیشینه درستنامی اندازه شبب روند ( $\hat{\delta}$ ) برای مقداری است که رابطه‌ی ۱۸ را حداکثر کند. با مشتقگیری از رابطه‌ی ۱۸ نسبت به  $\delta$  داریم:

$$\frac{dL(\hat{\tau})}{d\delta} = \sum_{i=\hat{\tau}+1}^m \left\{ \frac{y_i(i-\hat{\tau})}{1+\delta(i-\hat{\tau})} - \frac{(i-\hat{\tau})p_{i-}}{1+\delta(i-\hat{\tau})p_{i-}} \right\}, \quad (19)$$

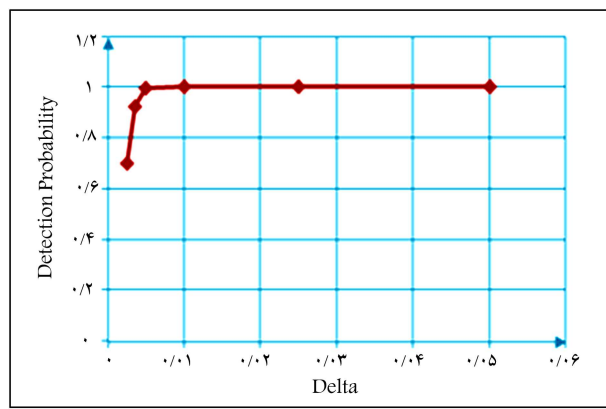
از آنجا که  $\frac{dL(\hat{\tau})}{d\delta}$  تابع مشخصی از  $\delta$  نیست روش نیوتون - رافسون برای به دست آوردن  $\delta$  به کار برده شده است. این روش، رویکردی برای به دست آوردن ریشه‌ی یک رابطه براساس مشتق آن است که از تقریب خطی زیر استفاده



شکل ۱. نمودار تابع درستنامی ( $L_1$ ) هنگامی که زمان و اندازه‌ی واقعی تغییر  $\tau = 50^0$  و  $\delta = 0, 1, 2, \dots, 5$  باشد.

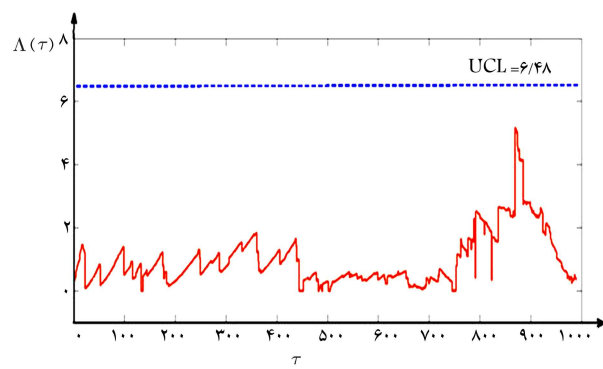


شکل ۳. نمودار احتمال کشف تغییر بهازی  $\tau = 50^\circ$ .



شکل ۴. نمودار احتمال کشف تغییر بهازی  $\tau = 30^\circ$ .

۳. اکنون این داده‌های تولید شده و مقادیر پارسونت‌ها به عنوان داده‌های فاز ۱ در نظر گرفته می‌شوند و فرض می‌شود هیچ اطلاعی درمورد آنها موجود نیست. این داده‌ها با استفاده از رویکرد نمودار RALRT که در بخش ۱.۲.۲ توضیح داده شد مورد پایش قرار می‌گیرد. به منظور برآورد مقادیر  $p_1, p_2, \dots, p_n$  و  $L_1, L_2, \dots, L_m$  که در نظر گرفته شده است. مقدار بیشینه نمودار در نقطه  $\hat{\tau}$  برابر  $875$  و بیشینه مقدار LRT برابر  $883$  است که کمتر از حد کنترل  $UCL = 48$  است. چنان که مشاهده می‌شود فرایند تحت کنترل است و می‌توان از مدل تعدیل ریسک رابطه‌ی ۲۳ به منظور برآورد نرخ مرگ بیماران آنی و در واقع پایش فرایند در فاز ۲ استفاده کرد.



شکل ۲. نمودار RALRT برای داده‌های فاز ۱.

مقدار حد بالا (UCL)، از نتایج مطالعات انجام شده توسط محققین [۷] استفاده می‌شود. آنها بهازی مقادیر مختلف احتمال خطا نوع ۱ ( $\alpha$ ) و نیز تعداد ضرباب رابطه‌ی رگرسیون لجستیک، حد کنترل مناسب را با استفاده از شبیه‌سازی به دست آورده‌اند. از آنجا که تعداد ضرباب رابطه‌ی رگرسیون لجستیک ۲ است، بهازی احتمال خطای ۱  $UCL = 48$ ،  $\alpha = 0.05$  به دست می‌آید.

برای تولید مقادیر پارسونت‌ها ( $x_i$ ها) تعداد  $m = 1000$  پارسونت از توزیع نمایی با میانگین  $9/8$  تولید می‌شود که با قرار دادن در رابطه‌ی  $23$  مقادیر  $\hat{p}_i$  به دست می‌آید. سپس با استفاده از این  $\hat{p}_i$ ها،  $y_i$  به عنوان داده‌های خروجی بیماران در فاز ۱ تولید می‌شود. این داده‌ها به عنوان مجموعه داده‌ی فاز ۱ در نظر گرفته می‌شود و فرض می‌شود اطلاعی درمورد تحت کنترل بودن یا خارج از کنترل بودن آنها وجود ندارد. با استفاده از رویکرد نمودار RALRT این داده‌ها مورد پایش قرار می‌گیرند و پس از به دست آوردن مقادیر  $L_i$  و  $L_{i+1}$ ، مقادیر  $\Lambda(\tau)$  به دست آمده و نمودار RALRT رسم می‌شود (شکل ۲)، یادآور می‌شود که  $l = 5$  در نظر گرفته شده است. مقدار بیشینه نمودار در نقطه  $\hat{\tau}$  برابر  $875$  و بیشینه مقدار LRT برابر  $883$  است که کمتر از حد کنترل  $UCL = 48$  است. چنان که مشاهده می‌شود فرایند تحت کنترل است و می‌توان از مدل تعدیل ریسک رابطه‌ی ۲۳ به منظور برآورد نرخ مرگ بیماران آنی و در واقع پایش فرایند در فاز ۲ استفاده کرد.

### ۲.۳. ارزیابی عملکرد

در این قسمت توانایی نمودار RALRT در شناسایی روند به وجود آمده در داده‌ها با استفاده از نمودار توان بررسی می‌شود. همچنین عملکرد برآورده کننده‌های بیشینه درست نمایی زمان و مقادیر شبیه سازی با استفاده از معیارهای ریاضی برآورده کننده‌ها،  $\bar{\tau}$  و انحراف معیار برآورده کننده‌ها  $\sigma_{\bar{\tau}}$  بررسی می‌شود. از رابطه‌ی  $23$  که در قسمت قبل استفاده شد به عنوان مدل پایه برای تولید داده‌ها استفاده می‌شود. به منظور ارزیابی عملکرد مراحل زیر انجام می‌شود:

۱. پس از تولید  $m = 1000$  پارسونت از توزیع نمایی با میانگین  $9/8$ ، با استفاده از رابطه‌ی  $23$  به عنوان مدل پایه، مقادیر  $m$ ،  $i = 1, \dots, m$ ،  $p_{1i}, \dots, p_{ni}$  تعیین می‌شود.
۲. با استفاده از رابطه‌ی  $9$  یک روند با شبیه سازی  $\tau$  از زمان  $t$  به  $\tau + 1, \tau + 2, \dots, \tau + n$  ایجاد می‌شود و مقادیر  $m$ ،  $i = 1, 2, \dots, m$ ،  $p_{1i}, \dots, p_{ni}$  به دست می‌آید. سپس با استفاده از مقادیر احتمال مرگ قبل از نقطه تغییر ( $P_{\tau+1}, \dots, P_{\tau+n}$ ) و مقادیر احتمال مرگ پس از تغییر ( $p_{1i}, \dots, p_{ni}$ )،  $i = 1, 2, \dots, m$  نمونه‌ی تصادفی برآورده  $(y_i, i = 1, 2, \dots, m)$  به عنوان متغیرهای خروجی زنده مانندن یا مرگ بیماران در فاز ۱ تولید می‌شود.

۴. پس از اعلان خارج از کنترل توسط نمودار RALRT، برآورده بیشینه درست نمایی زمان و مقادیر شبیه سازی تعیین می‌شود.

۵. گام‌های ۱ تا ۳،  $50^\circ$  بار تکرار شده و در هر تکرار مجموعه‌ی شامل  $1000$  داده تولید شده و برآورد زمان و اندازه‌ی تغییر در هر تکرار محاسبه می‌شود. نمودار احتمال کشف تغییر بهازی مقادیر  $1, 2, \dots, 50$  را در این روش نیوتون - رافسون در برآورد مقادیر  $\delta$ ، مقادیر اولیه‌ی آن برابر صفر ( $\delta = 0$ ) قرار داده شده است. همچنین مقادیر  $7$  (حداقل اندازه نمونه لازم برای برآورد ضرباب مدل رگرسیون) برابر  $5$  در نظر گرفته شد. نمودار احتمال کشف تغییر بهازی مقادیر  $8$  و  $25$  و  $50$  رسم شده است. مطابق انتظار با افزایش مقادیر  $\delta$  احتمال کشف تغییر بیشتر می‌شود. علت آن است که بهازی مقادیر  $5$  بزرگ‌تر، تغییر در مقادیر نرخ مرگ بیماران قبل و پس از تغییر بیشتر شده، و تفاوت داده‌ها قبل و پس از نقطه تغییر افزایش می‌یابد. همچنین دیده می‌شود که عملکرد نمودار RALRT در کشف تغییر بهازی  $\tau = 30^\circ$  بهتر از  $\tau = 50^\circ$  است. برای مثال بهازی  $\tau = 30^\circ$  و  $\delta = 25^\circ$  احتمال کشف تغییر  $69.8\%$  است در حالی که

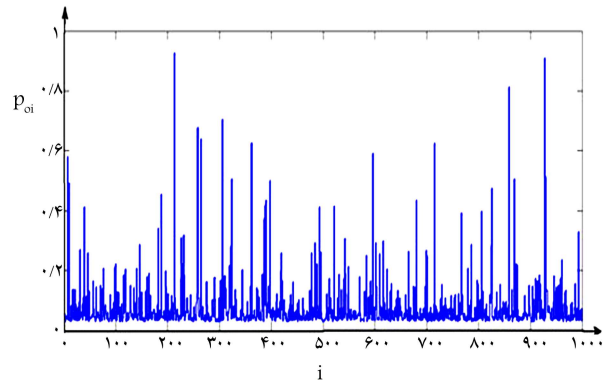
انحراف معیار برابر با  $554/934$  و  $26/2786$  خواهد بود. همچنین دیدیم که با افزایش مقدار  $\delta$  احتمال کشف نیز افزایش می‌یابد، و این بیان می‌دارد که هرچه احتمال کشف تغییر بیشتر باشد زمان تغییر نیز با دقت بیشتری برآورده می‌شود. همچنین عملکرد برآورده‌کننده‌ی بیشترین درست‌نمایی اندازه شیب تغییر که با روش نیوتون - رافسون به دست آمد، به ازای هر دو مقدار  $\tau = 50^{\circ}$  و  $\tau = 30^{\circ}$  تقریباً مشابه هم است. چنان‌که مشاهده می‌شود این برآورده‌کننده به‌خوبی قادر به شناسایی اندازه شیب تغییر است.

همچنین از برآوردهای فاصله‌یی به منظور ارزیابی عملکرد برآورده‌کننده‌های زمان و مقدار تغییر استفاده شده است. برآوردهای فاصله‌یی زمان و مقدار واقعی تغییر در جدول ۲ آمده است. در این جدول نسبت تعداد دفعاتی که در شبیه‌سازی‌های مقدار برآورده‌کننده‌ها در فواصل داده شده قرار گرفته‌اند محاسبه شده است. با توجه به جدول ۲ با افزایش مقدار  $\delta$  برآوردهای فاصله‌یی زمان واقعی تغییر بهبود می‌یابد. به عنوان مثال به ازای  $\tau = 50^{\circ}$  برآورد فاصله‌یی به طول ۴ حول  $= 50^{\circ} = \tau$  شامل  $1/\%$  از مقادیر  $\hat{\tau}$  می‌شود در حالی که به ازای  $\tau = 35^{\circ}$  این مقدار برابر با  $9/\%$  است. همچنین دقت برآوردهای فاصله‌یی برای مقدار تغییر با افزایش مقدار  $\delta$  تا حدی کاهش می‌یابد. علت این امر مقدار اولیه‌ی انتخاب شده برای  $\delta$  در روش نیوتون - رافسون است. مقدار  $\tau = 50^{\circ}$  در نظر گرفته شده است.

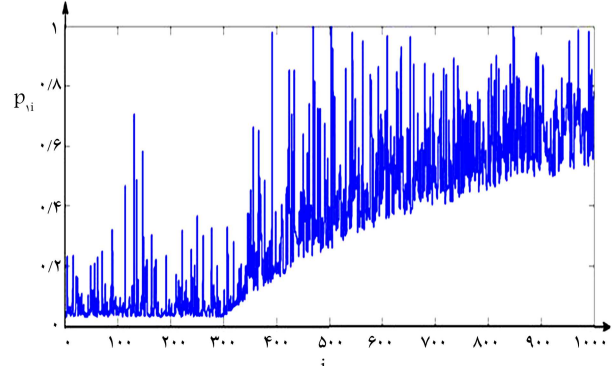
### ۳.۳. مقایسه

در این بخش عملکرد برآورده‌کننده‌های بیشینه درست‌نمایی در شناسایی زمان و مقدار شیب روند با نتایج برآورده‌کننده‌های بیز و CUSUM مقایسه می‌شود. محققین با در نظر گرفتن وقوع یک روند خطی (رابطه‌ی  $y$ ) در نزد مرگ بیماران و با استفاده از روش برآورد بیز، زمان و مقدار شیب روند رخ داده در فرایند برآورده زنده ماندن یا مرگ بیماران را شناسایی کرده‌اند.<sup>[۱۱]</sup> به منظور پایش فرایند آنها از نمودار RACUSUM استفاده کرده‌اند و نتایج برآورده زمان تغییر را در روش بیز با نتایج روش CUSUM مقایسه کرده‌اند. در برخی از مطالعات به منظور ارزیابی عملکرد، از تعداد  $10^{\circ}$  تکرار شبیه‌سازی استفاده شده<sup>[۱۲]</sup> و نیز به عنوان مقادیر زمان تغییر و شیب روند از مقادیر  $\tau = 50^{\circ}$  و  $\tau = 25^{\circ}$  به عنوان  $50^{\circ}, 0, 0025$ ،  $0, 005$ ،  $0, 01$ ،  $0, 05$ ،  $0, 1$ ،  $0, 2$ ،  $0, 35$  و  $0, 5$  استفاده کرده‌اند. در این مقاله نیز به منظور قابل مقایسه بودن نتایج  $10^{\circ}$  تکرار شبیه‌سازی شده در نظر گرفته و نتایج حاصل با نتایج روش‌های بیز و CUSUM مقایسه شده است (جدول ۳).

با توجه به جدول ۳، نتایج روش بیز و CUSUM در شناسایی زمان تغییر تا



شکل ۵. نمودار مقادیر ریسک پایه‌یی بیماران پیش از تغییر.



شکل ۶. نمودار مقادیر ریسک پایه‌یی بیماران پس از تغییر.

به ازای  $\tau = 50^{\circ}$  و  $\tau = 25^{\circ}$  احتمال کشف تغییر برابر  $436/400$  است. نمودار مقادیر ریسک پایه‌یی بیماران (مقادیر  $p_{oi}$ ) برای یکی از تکرارها در شکل ۵ نمایش داده شده است. همچنین تأثیر روند با شیب  $\tau = 5^{\circ}$  از نقطه‌ی  $\tau = 30^{\circ}$  روی مقادیر ریسک مرگ بیماران در شکل ۶ نشان داده شده است. چنان‌که مشاهده می‌شود از نقطه‌ی  $\tau = 30^{\circ}$  نزد مرگ روند صعودی داشته است. برای بررسی نتایج عملکرد برآورده‌کننده‌های زمان و مقدار تغییر میانگین و انحراف معیار این برآورده‌کننده‌ها در جدول ۱ ثبت شده است. چنان‌که مشاهده می‌شود با افزایش مقدار  $\delta$  عملکرد برآورده‌کننده‌ی زمان تغییر بهبود می‌یابد. به عنوان مثال به ازای نقطه‌ی تغییر  $\tau = 50^{\circ}$ ، اگر  $0, 05 = \delta$  باشد مقادیر میانگین و انحراف معیار برابر  $577, 050$  و  $486, 036$  است در حالی که اگر  $0, 01 = \delta$  باشد مقادیر میانگین و

جدول ۱. میانگین و انحراف معیار برآورده‌کننده‌های زمان و مقدار تغییر به ازای مقادیر مختلف  $\tau$  و  $\delta$ .

	$\delta$	$0, 0025$	$0, 005$	$0, 01$	$0, 05$	$0, 1$	$0, 2$	$0, 35$	$0, 5$
$\tau = 50^{\circ}$	$\bar{\tau}$	۶۴۲/۲۱۱	۶۵۸/۱۹۶۰	۶۳۶/۶۲۲	۵۷۷/۰۵۰	۵۵۴/۹۳۴	۵۳۶/۰۵۴	۵۱۸/۰۹۶	۵۰۶/۷۷۰
	$\sigma_{\bar{\tau}}$	۲۰۰/۸۷۱	۱۴۹/۵۸۰۰	۸۱/۷۸۴	۳۶/۴۸۶	۲۶/۲۷۸۶	۲۲/۰۱۰۲	۳۱/۷۰۴	۴۲/۶۵۵۶
	$\hat{\delta}$	۰, ۰۲۹۳	۰, ۰۰۵۹	۰, ۰۲۱۴	۰, ۰۷۶۹	۰, ۱۳۷۷	۰, ۰۱۷۹	۰, ۳۹۴۱	۰, ۰۵۲۳
	$\sigma_{\hat{\delta}}$	۰, ۰۴۶۶	۰, ۰۰۸۹	۰, ۰۴۶۶	۰, ۰۱۸۱	۰, ۰۲۹۳	۰, ۰۱۱۱	۰, ۰۴۳۲	۰, ۰۷۸۶
$\tau = 30^{\circ}$	$\bar{\tau}$	۵۴۸/۷۰۲	۵۲۵/۱۰۶	۴۹۶/۰۳۰	۴۰/۱۳۳۰	۳۷۴/۵۸۶	۳۲۷/۷۳	۳۱۹/۳۱۲	۳۲۲/۲۵۸
	$\sigma_{\bar{\tau}}$	۱۹۲/۸۴۶	۱۳۱/۴۱۶	۹۵/۰۶۶۶	۴۴/۴۱۵۰	۳۲/۶۳۷۴	۳۲/۹۲۳	۲۱/۹۰۸	۱۹/۷۹۸۵
	$\hat{\delta}$	۰, ۰۰۲۹	۰, ۰۰۲۷	۰, ۰۰۳۱	۰, ۰۷۹۴	۰, ۰۸۶۷	۰, ۱۷۶۱	۰, ۳۲۱۰	۰, ۶۱۷۱
	$\sigma_{\hat{\delta}}$	۰, ۰۰۶۱	۰, ۰۰۲۶	۰, ۰۰۱۶	۰, ۰۱۶۷	۰, ۰۸۸۶	۰, ۰۹۸۹	۰, ۱۰۹۱	۰, ۱۲۱۲

جدول ۲. برآوردهای فاصله زمان و مقدار واقعی تغییر.

$\hat{P}( \delta - \delta  < 0.1)$	$\hat{P}( \delta - \delta  < 0.05)$	$\hat{P}( \delta - \delta  < 0.005)$	$\hat{P}( \tau - \tau  < 3^\circ)$	$\hat{P}( \tau - \tau  < 1^\circ)$	$\hat{P}( \tau - \tau  < 5^\circ)$	$\hat{P}( \tau - \tau  < 2^\circ)$	$\delta$	$\tau$
۰,۹۴۰۹	۰,۹۰۴۵	۰,۵۲۲۷	۰,۰۳۷۴	۰,۰۲۷۵	۰,۰۱۳۸	۰,۰۰۴۶	۰,۰۰۲۵	
۱	۰,۹۸۷۳	۰,۸۹۲۴	۰,۰۴۶۴	۰,۰۱۹۰	۰,۰۰۶۳	۰	۰,۰۰۵	
۰,۹۹۸	۰,۹۸	۰,۴۱۴	۰,۰۴۲	۰,۰۰۸	۰,۰۰۶	۰,۰۰۲	۰,۰۱	
۰,۹۹۶۰	۰,۹۰۸۰	۰,۰۷۰۰	۰,۱۰۲۰	۰,۰۲۰۰	۰,۰۱۴۰	۰,۰۰۸	۰,۰۵	۵۰۰
۰,۹۶۰۰	۰,۷۱۶۰	۰,۰۹۰۰	۰,۱۶۸۰	۰,۰۱۲۰	۰,۰۰۶۰	۰,۰۰۲۰	۰,۱	
۰,۰۰۴۰	۰	۰	۰,۳۹۰۰	۰,۰۷۰۰	۰,۰۱۸۰	۰,۰۱۰۰	۰,۲	
۰,۳۲۹۰	۰,۱۲۰۹	۰,۰۹۰۱	۰,۵۸۹۵	۰,۱۹۵۸	۰,۱۱۰۴	۰,۰۹۰۳	۰,۳۵	
۰,۱۸۹۰	۰,۱۲۰۸	۰,۰۸۷۵	۰,۶۹۰۳	۰,۳۴۲۱	۰,۲۲۶۷	۰,۱۸۹۰	۰,۵	

جدول ۳. مقایسه عملکرد برآوردهای بیشترین درست‌نمایی، بیز و CUSUM.

$\delta$	۰,۰۰۲۵	۰,۰۰۵	۰,۰۱	۰,۰۲۵	۰,۰۵	۰,۱
$\tau = 500$	$\bar{\tau}$	۶۴۴,۰۳	۴۶۳,۶۴۴	۶۴۴,۳۲	۵۹۶,۱۸۰۰	۵۷۶,۸۴
	$\sigma_{\bar{\tau}}$	۱۷۲,۲	۱۲۳,۶۸۲	۶۵,۵۹۱	۴۷,۲۲۴۱	۳۲,۹۸
	$\bar{\tau}_{cusum}$	۷۲۷,۷	۶۰۵,۸	۵۵۹,۷	۵۱۳,۱	۴۹۵,۲
	$\sigma_{\bar{\tau}_{cusum}}$	۱۳۱,۹	۱۱۰,۲	۵۶,۲	۶۲,۶	۵۶,۵
	$\bar{\tau}_{bayes}$	۷۴۰,۱	۶۳۳,۶	۵۷۹,۷	۵۲۴,۴	۵۱۴,۷
	$\sigma_{\bar{\tau}_{bayes}}$	۹۴,۸	۷۵,۸	۴۱,۸	۴۲,۹	۲۰,۴
	$\bar{\delta}$	۰,۰۰۵	۰,۰۱۶	۰,۰۱۲۶	۰,۰۴۰۲	۰,۰۷۹
	$\sigma_{\bar{\delta}}$	۰,۰۰۴۳	۰,۰۰۷۷	۰,۰۰۴۵	۰,۰۱۴۰	۰,۰۱۲۶
	$\bar{\delta}_{bayes}$	۰,۰۰۶	۰,۰۱۰	۰,۰۲۲	۰,۰۴۱	۰,۰۸۱
	$\sigma_{\bar{\delta}_{bayes}}$	۰,۰۰۴	۰,۰۴۱	۰,۰۵۰	۰,۰۴۵	۰,۰۲۷

برآوردهای مطرح شده در این مقاله با دقت قابل قبولی قادر به شناسایی زمان تغییر و مقدار شیب روند هستند. به عنوان زمینه‌یی برای تحقیقات آتی می‌توان به لحاظ کردن فاکتور یادگیری جراح در مدل پرداخت. در این تحقیق فرض شد که در صورت رخ دادن تغییر در فرایند، تا زمان شناسایی تغییر، فرایند در حالت تغییر یافته باقی خواهد ماند (فرض ثابت ماندن عملکرد جراح؛ در صورتی که در عمل با افزایش مهارت جراح میزان تغییر در فرایند به تدریج کاهش یافته و نرخ مرگ بیماران کاهش می‌یابد. لحاظ کردن این فرض در مدل می‌تواند به واقعی تر شدن مدل کمک کند. همچنین در بررسی‌های انجام شده توسط مؤلفان مشخص شد که تا کنون از روش آزمون نسبت درست‌نمایی به منظور پایش متغیرهای پیوسته بیماران مانند زمان بقای بیماران در فاز ۱ استفاده نشده است. لذا استفاده از این روش برای پایش زمان بقای بیماران می‌تواند زمینه‌یی مناسب برای تحقیقات بعدی باشد. در این حالت استفاده از مدل‌های تعديل ریسک مناسب مانند مدل AFT ضروری است.

حدی بهتر از نتایج روش بیشینه درست‌نمایی است هرچند بهازی ۰,۰۰۲۵ =  $\delta$  مقدار برآوردهای بیشینه درست‌نمایی زمان تغییر بهتر است. در مورد برآوردهای بیشینه درست‌نمایی و بیز مقدار تغییر، نتایج برآوردهای بیشینه درست‌نمایی مقدار تغییر، به خصوص برای مقادیر  $\delta$  کم، دقیق‌تر است.

#### ۴. نتیجه‌گیری

در این مقاله از روش آزمون نسبت درست‌نمایی به منظور شناسایی زمان و مقدار تغییر (مقدار شیب روند) در نرخ مرگ بیماران در فاز ۱ — هنگامی که یک روند خطی در نرخ مرگ بیماران پس از عمل جراحی وجود دارد — استفاده شد. همچنین برای پایش فرایند از روش نمودار RALRT استفاده شد. نتایج نشان می‌دهد که

## پانوشت‌ها

1. risk adjusted control charts (RACCs)
2. statistical process control (SPC)
3. logistic regression
4. accelerated failure time (AFT)
5. Bernoulli outcome
6. survival time
7. risk adjusted sequential probability ratio test chart (RASPRT)
8. risk adjusted survival time exponentially weighted moving average chart (RASTEWMA)
9. risk adjusted cumulative sum chart (RACUSUM)
10. risk adjusted survival time cumulative sum chart (RAST-CUSUM)
11. average run length (ARL)
12. change point estimation
13. risk adjusted likelihood ratio test chart
14. Bayesian estimation
15. odds ratio

## منابع (References)

1. Ghasemi, R. "The use of risk adjusted control charts (RACCs) and change point (CP) analysis for monitoring quality of health-care services in hospitals and clinics", Master of Science Seminar, Department of Industrial Engineering, KN Toosi University of Technology (2012).
2. Matheny, M.E., Machado, L.O. and Resnic, F.S. "Risk-adjusted sequential probability ratio test control chart methods for monitoring operator and institutional mortality rates in interventional cardiology", *American Heart Journal*, **155**(1), pp. 114-120 (2007).
3. Steiner, S.T. and Jones, M. "Risk-adjusted survival time monitoring with an updating exponentially weighted moving average (EWMA) control chart", *Statistics in Medicine*, **29**(4), pp. 444-454 (2009).
4. Sego, L.H., Reynolds, M.R. and Woodall, W.H. "Risk-adjusted monitoring of survival times", *Statistics in Medicine*, **29**(9), pp. 1386-1401 (2009).
5. Sibaanda, T. and Sibanda, N. "The CUSUM chart method as a tool for continuous monitoring of clinical outcomes using routinely collected data". *BMC Medical Research Methodology*, **7**(46), pp. 1-7 (2007).
6. Sego, L.H. "Applications of control charts in medicine and epidemiology", Phd dissertation, Virginia Polytechnic Institute and State University, Department of Statistics (2006).
7. Paynabar, K., Jin, J., and Yeh, A.B. "Phase I risk-adjusted control charts for monitoring surgical performance by considering categorical covariates", *Journal of Quality Technology*, **44**(1), pp. 39-53 (2012).
8. Assareh, H. and Mengersen, K. "Change point estimation in monitoring survival time", *PLoS ONE*, **7**(3), pp. 1-7 (2012).
9. Assareh, H. and Mengersen, K. "Detection of the time of a step change in monitoring survival time", *Proceedings of the World Congress on Engineering*, London, U.K, **1**(1), pp. 1-7 (2011).
10. Assareh, H. and Mengersen, K. "Bayesian estimation of the time of a decrease in risk adjusted survival time control charts", *International Journal of Applied Mathematics*, **41**(4), pp. 360-366 (2011).
11. Assareh, H. Smith, I. and Mengersen, K.A. "Bayesian estimation of the time of a linear trend in risk adjusted control charts", *IAENG International Journal of Computer Science*, **38**(4), pp. 309-317 (2011).
12. Assareh, H., Smith, I. and Mengersen, K. "Change point detection in risk adjusted control charts", *Statistical Methods in Medical Research*, pp. 1-22 (2011).
13. Myers, R.H., Montgomery, D.C. and Vining, G.G., *Generalized Linear Models*, John Wiley & Sons, Inc. New York, USA, pp.323-327 (2002).
14. Hogg, R.V. and Craig, A.T., *Introduction to Mathematical Statistics*, Pearson Education and Higher Education Press, China, pp.413-420 (2004).
15. Amiri, A. and Allahyari, S. "Change point estimation method for control chart post signal diagnostics: A literature review", *Quality and Reliability Engineering International*, **27**(8), pp. 673-685 (2011).
16. Perry, M.B., Pignatiello Jr, J.J. and Simpson, J.R. "Estimating the change point of a poisson rate parameter with a linear trend disturbance", *Quality and Reliability Engineering International*, **22**(4), pp. 371-384 (2005).
17. Rardin, R.L., *Optimization in Operation Research*, Prentice-Hall: Upper Saddle River, NJ. USA (2000).